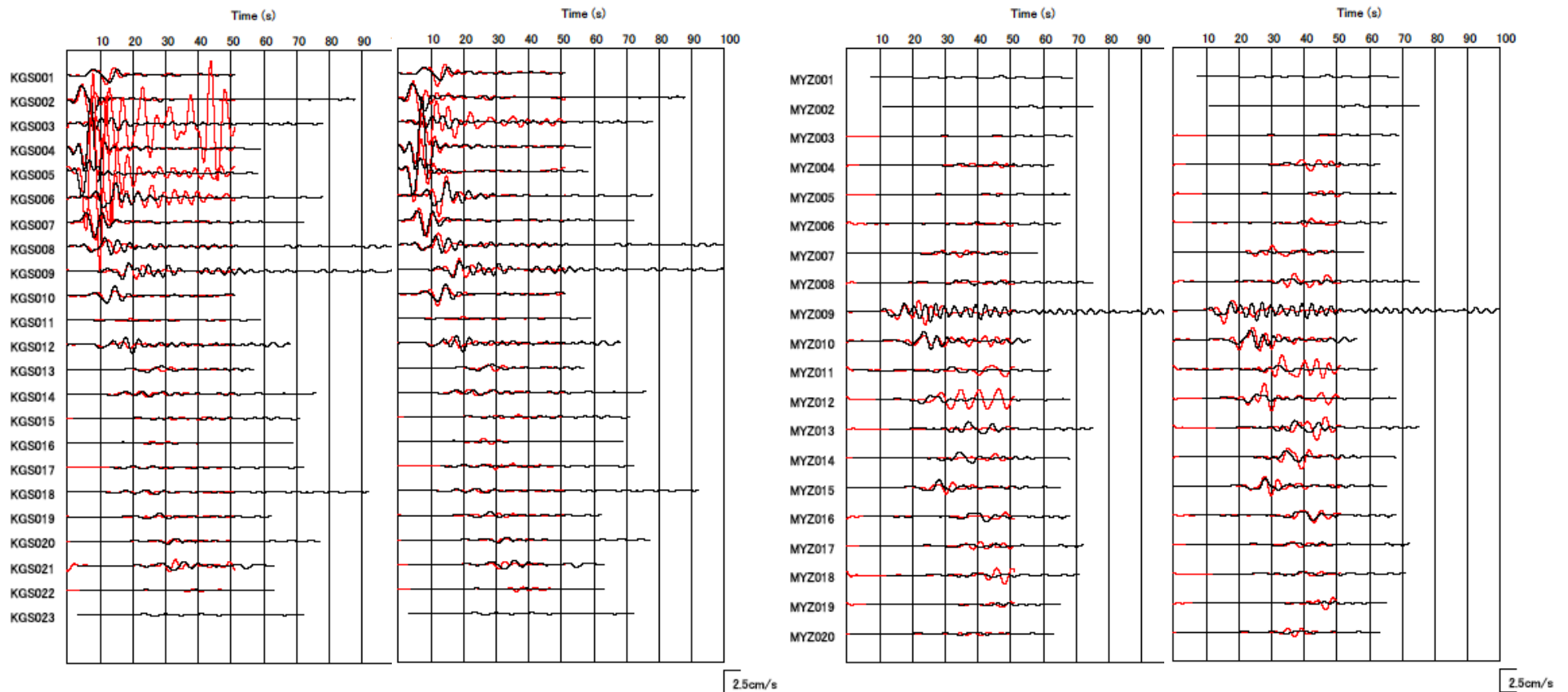


MYZ008 (西都市)

MYZ005 (日向市)

図 19-1 三次元地下構造モデルの修正後の差分法による計算結果 (赤) と観測記録 (黒) との比較 (波形とフーリエスペクトル、観測記録、及び計算結果には3~20秒のバンドパスフィルター処理を施した。モデルを大きく変更した宮崎県内の観測点について示す。)



(a) 初期モデル

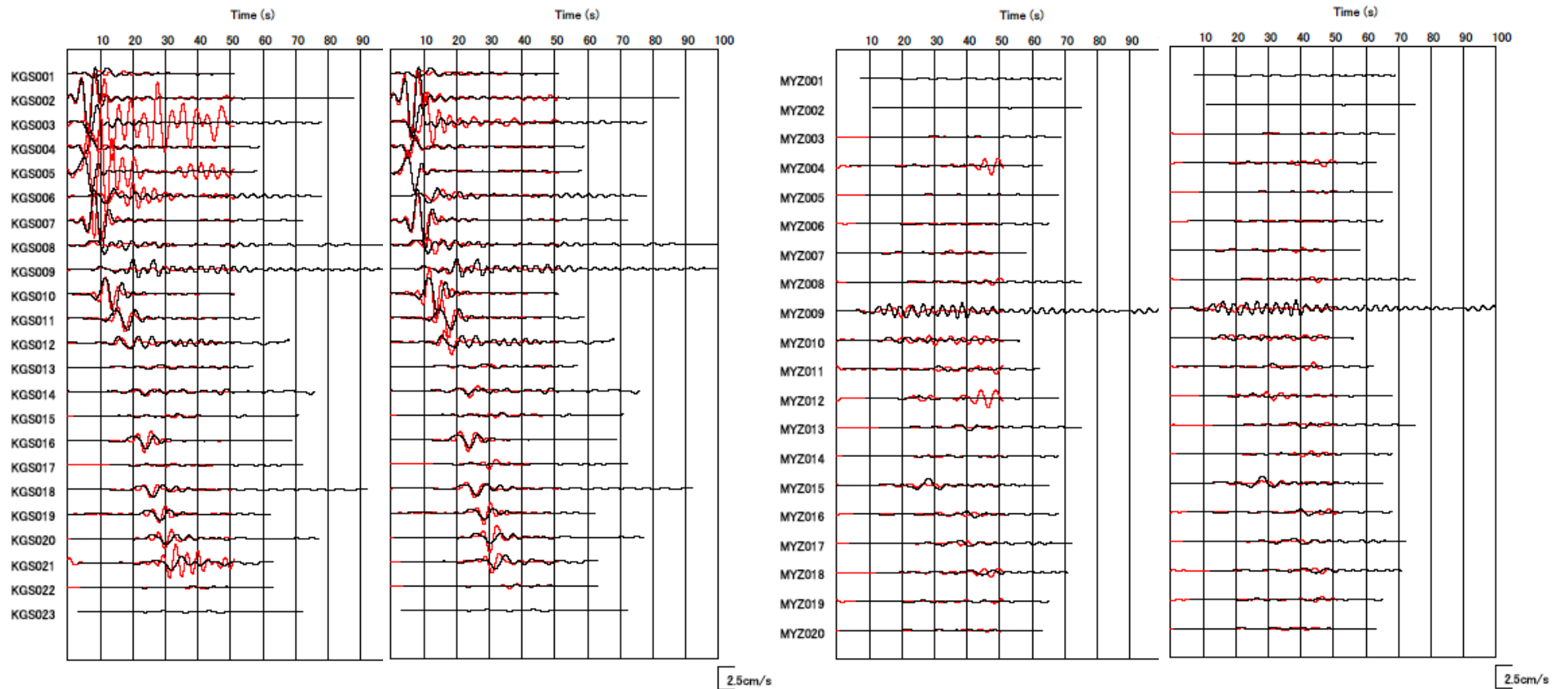
(b) 修正モデル

(a) 初期モデル

(b) 修正モデル

黒：観測記録（K-NET）、赤：差分法の計算結果（ともに、3～20秒のバンドパスフィルター処理を施した。）

図 19-2 三次元地下構造モデルの修正後の差分法による計算結果（赤）と観測記録（黒）との比較
 （NS 成分、観測記録のみ表示している観測点は、詳細法による評価対象外の観測点）



(a) 初期モデル

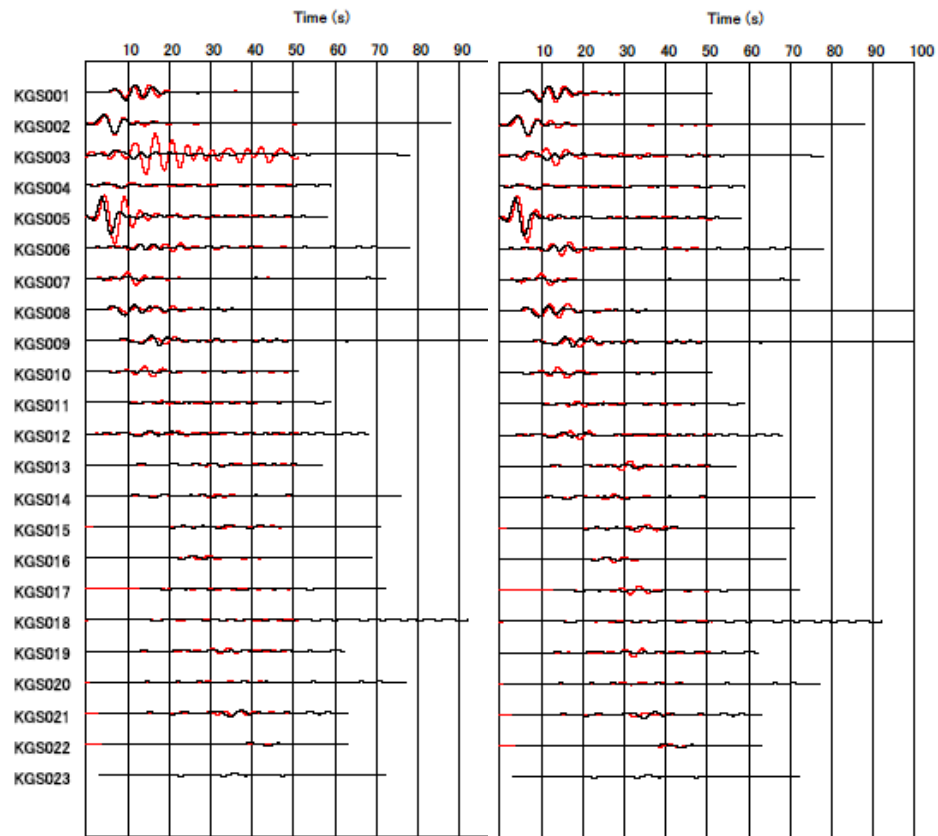
(b) 修正モデル

(a) 初期モデル

(b) 修正モデル

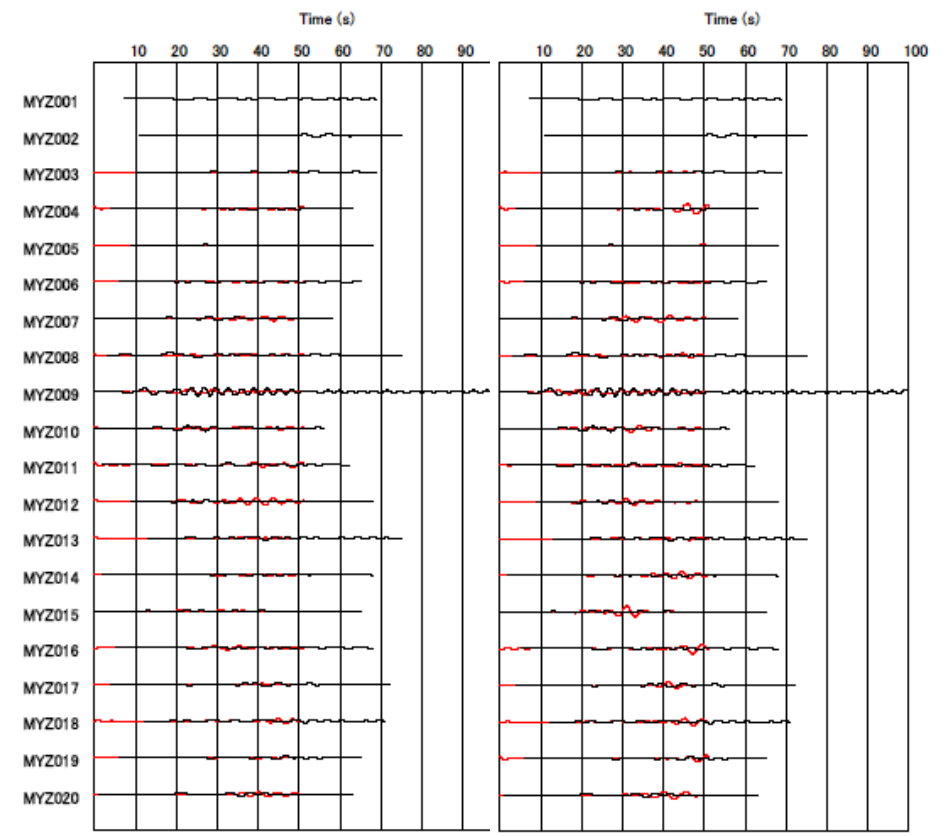
黒：観測記録（K-NET）、赤：差分法の計算結果（ともに、3～20秒のバンドパスフィルター処理を施した。）

図19-3 三次元地下構造モデルの修正後の差分法による計算結果（赤）と観測記録（黒）との比較
（EW成分、観測記録のみ表示している観測点は、詳細法による評価対象外の観測点）



(a) 初期モデル

(b) 修正モデル



(a) 初期モデル

(b) 修正モデル

黒：観測記録（K-NET）、赤：差分法の計算結果（ともに、3～20秒のバンドパスフィルター処理を施した。）

図19-4 三次元地下構造モデルの修正後の差分法による計算結果（赤）と観測記録（黒）との比較
（UD成分、観測記録のみ表示している観測点は、詳細法による評価対象外の観測点）